

اکتشافات ژئوشیمیایی (رسوبات رودخانه و سنگ) در شمال کلاته آهانی (گناباد)

محمد حسن کریمپور و * احسان سلاطی
 گروه زمین‌شناسی دانشگاه فردوسی مشهد
 mhkarimpour@yahoo.com

چکیده

منطقه مطالعاتی در شرق ایران و در فاصله ۱۳ کیلومتری جنوب‌خاوری بیدخت واقع شده است. شیل ماسه سنگهای ژوراسیک ابتدا تحت تاثیر دگرگونی ناحیه‌ای درجه پایین (کوهزایی زمان ژوراسیک - کرتاسه) به اسلیت و کوارتزیت نگرگون شده‌اند. اسلیت در مجاورت با بیوتیت گرانوویوریت، به انواع شیست دگرگون شده است. گرانیتوئیدهای سری ایلمینیت و مگنتیت در منطقه شناسایی شدند. با تولیت بیوتیت گرانوویوریت‌ها متعلق به سری ایلمینیت است. توده‌های مونزرونیتی که از گرانوویوریت جوانتر هستند، به شکل استوک رخمنون دارند. مونزرونیت‌ها براساس ترکیب کانی شناختی به سری مگنتیت (نوع I) اختصاص دارند. زون‌های آلتراسیون سرسیتیک، پروپلیتیک، سیلیسی، آرژیلیک و تورمالین فقط در گرانوویوریت و سنگهای مجاور با آن شناسایی شدند.

رسوبات رودخانه‌ای (کانی سنگین) که از گرانوویوریت‌ها بخش شرقی منشا گرفته‌اند، بیشترین بی‌هنگاری عناصر Sn, Au, As, Pb, Zn, Cu را نشان می‌دهد. حداقل میزان عناصر در این محدوده عبارتند از:

$$Sn = 445 \text{ ppm}, Cu = 321 \text{ ppm}, Au = 5 \text{ ppb}, As = 399 \text{ ppm}, W = 59 \text{ ppm}, Pb = 980 \text{ ppm}, Zn = 608 \text{ ppm}.$$

نتایج تجزیه ۷۷ نمونه از توده‌های گرانوویوریتی و مونزرونیتی (برداشت شده از مناطق دارای آلتراسیون و کانی‌سازی) نشان داد که بی‌هنگاری Sn-W-Au-Pb-Zn-Cu-As در ارتباط با گرانوویوریت است. بیشترین میزان بی‌هنگاری عناصر Sn-W-Au-Pb-Zn-Cu-As در گرانوویوریت‌ها که در بخش شرقی رخمنون دارند شناسایی شد.

Stream Sediment and Lithogeochemical Exploration North of Klateh Ahani, Ghonabab

Karimpour, M.H., & Salati, E.

Dept. of Geology, Ferdowsi University of Mashhad, Iran

mhkarimpour@yahoo.com

Abstract

The study area is located in Eastern Iran, 13 Km southeast of Bidokht. Low grade regional metamorphism (Jurassic-Cretaceous orogeny) has turned shale and sandstone of Jurassic into slate and quartzite. Slates are metamorphosed to different type of schist around the contact of granodiorite.

Both magnetite and ilmenite granitoids were identified. Biotite granodiorite batholith belongs to ilmenite series. Monzonitic subvolcanic forms as stock and they are younger than granodiorite. Based on mineralogy, therefore monzonite is classified as belonging to the magnetite-series of oxidant type granitoids (I-type granitoids).

Alteration zones associated with granodiorite are: sericite, propylitic, silicified, argillic and tourmaline.

Heavy minerals (stream sediment) originated from granodiorite of the eastern section shows anomalies of Sn, Au, As, Pb, Zn, Cu, W. The highest values of these elements are:

$Sn = 445 \text{ ppm}, Cu = 321 \text{ ppm}, Au = 5 \text{ ppb}, As = 399 \text{ ppm}, W = 59 \text{ ppm}, Pb = 980 \text{ ppm}, Zn = 608 \text{ ppm}$.

Analytical results of 77 samples taken from granodiorite & monzonite (altered & mineralized) show high anomalies of Sn, Cu, Au, Pb, Zn, W within granodiorite outcrop in the eastern section of the study area.

مقدمه

منطقه مطالعاتی در شرق ایران و در فاصله ۱۵ کیلومتری جنوب‌خاوری گناباد در محدوده طول جغرافیایی ۶۶۳۲۰۰ تا ۶۷۵۲۰۰ و عرض جغرافیایی ۳۷۸۵۳۰۰ تا ۳۷۹۳۲۰۰ واقع شده است. پیشینه مطالعات شامل: تهیه نقشه‌های زمین‌شناسی ۱:۲۵۰۰۰۰ گناباد (امانوئل فوله، ۱۳۸۳) و نقشه ۱:۱۰۰۰۰ گناباد فرخ قائمی (۱۳۸۴) را می‌توان نامبرد. هدف از این مطالعه شناسایی مناطق دارای کانی‌سازی بوده است. در این راستا داده‌های مناسب تولید شدند از جمله: تهیه نقشه‌های زمین‌شناسی و آتراسیون-کانی‌سازی در مقیاس ۱:۵۰۰۰ وسعت ۵۰ کیلومتر مربع، اکتشافات ژئوشیمیایی براساس رسوبات رودخانه‌ای و سنگ بوده است.

زمین‌شناسی منطقه

قدیمترین واحد که در منطقه مطالعاتی رخمنون دارد شیل ماسه سنگهای ژوراسیک است. این مجموعه حداقل در دو مقطع زمانی تحت تأثیر دگرگونی قرار گرفته‌اند. دگرگونی ناحیه‌ای در حد رخساره شیست سبز موجب تشکیل اسلیت و کوارتزیت شده است. در مرحله بعد اسلیت و کوارتزیت تحت تأثیر توده‌های گرانودیوریتی (دگرگونی همبری) و براساس موقعیت نسبت به توده به انواع شیست و اسلیت لکه‌ای دگرگون شده‌اند. سنگ آهک کرتاسه که در معرض دگرگونی ناحیه‌ای درجه پایین قرار گرفته رخمنون کوچکی در شرق محدوده دارد.

بیوتیت گرانودیوریت پورفیری به صورت باتولیت با روند تقریبی شرقی- غربی در اسلیت و کوارتزیت- های ژوراسیک نفوذ نموده است. براساس ترکیب کانی‌شناختی، بیوتیت گرانودیوریت پورفیری مربوط به سری ایلمینیت (نوع احیایی) و از گرانیت‌های نوع S است (کریپور و دیگران ۱۳۸۸).

چند توده نفوذی مونزونیتی (جوانتر از گرانودیوریت) در منطقه شناسایی شدند. با توجه به بیوتیت و هورنبلند مونزونیت‌ها به سه دسته تقسیم شدند. هورنبلند مونزونیت پورفیری، هورنبلند بیوتیت مونزونیت پورفیری و بیوتیت مونزونیت پورفیری. براساس ترکیب کانی‌شناختی، مونزونیت‌ها مربوط به سری مگنتیت (نوع اکسیدان) و از گرانیت‌های نوع I هستند (Ishihara 1977).

منطقه مورد مطالعه به شدت گسلیده و چین خورده است. تشکیل طاقدیس‌ها و گسل‌های امتداد لغز نتیجه حرکت و چرش بلوک لوت است. در منطقه حداقل دو مجموعه گسل شناسایی شدند (قائمی، ۱۳۸۴): ۱- گسل‌های اصلی موجود در منطقه از نوع راستالغز بوده و بیشتر دارای شمال غرب- جنوب شرق هستند. ۲- گسل‌های چپ لغز (قدیمی‌تر) انواع شمال- جنوب و یا شمال شرقی- جنوب غربی می‌باشند.

آلتراسیون و کانی‌سازی

داده‌های ماهواره استر به منظور شناسایی کانیهای معرف زون‌های آلتراسیون پردازش شدند (شکل ۱). در خصوص روش پردازش از تجربیات و روش‌های بکار گرفته شده استفاده شد (Hubbard et al., 1996; Rowan and Mars 2003; Yamaguchi et al., 2003) (Rowan et al., 1996). زون‌های آلتراسیون مهم که در محدوده بیوتیت گرانودیوریت شناسایی شدند عبارتند از: زون سرسیتیک، زون پروپلیتیک، زون سیلیسی، زون آرژیلیک و زون تورمالین. زون سرسیتیک نسبتاً گسترده است و موجب آتره شدن گرانودیوریت و سنگهای مونزونیتی خیلی جزئی کلریتی شده‌اند.

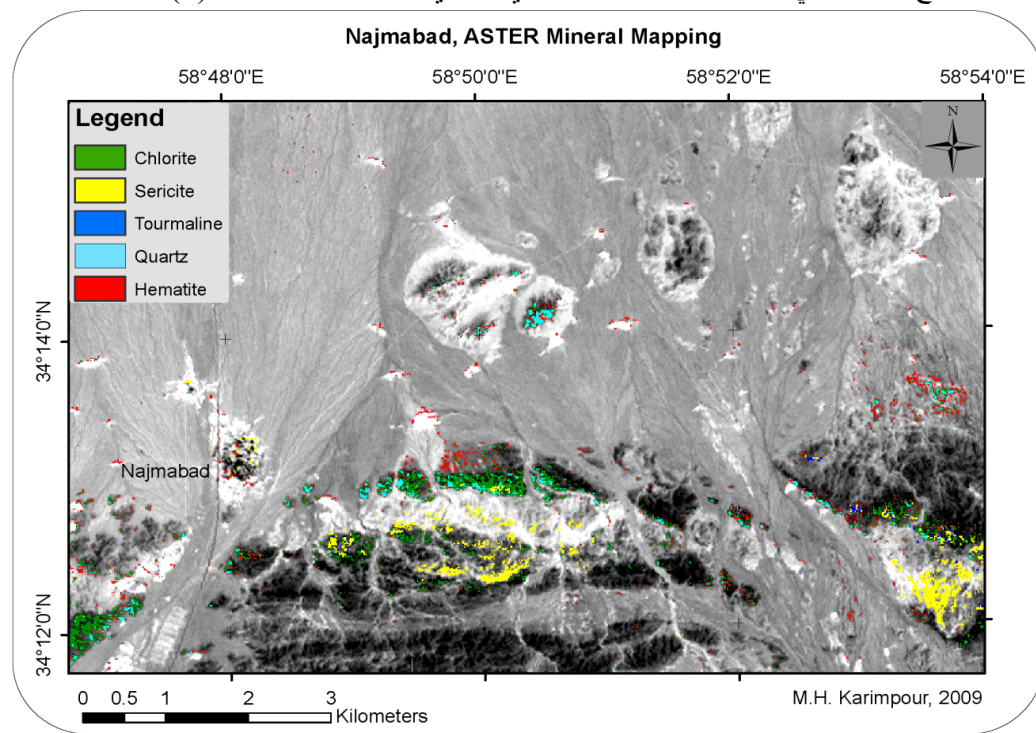
اکتشافات ژئوشیمیایی

آلتراسیون و کانی‌سازی در محدوده مطالعاتی در ارتباط با توده‌های گرانودیوریتی (سری ایلمینیت و از گرانیت- های نوع S) تشخیص داده شد. از آنجاییکه گرانیت‌های سری ایلمینیت (گرانیت‌های نوع S) برای کانی‌سازی W-Sn-Au (Heinrich, et al.; Henley, et al. 1992, 1999; Audébat 2000) بنابراین اکتشافات ژئوشیمیایی در منطقه براین اساس برنامه‌ریزی شد.

اکتشاف ژئوشیمیایی رسوبات رودخانه‌ای

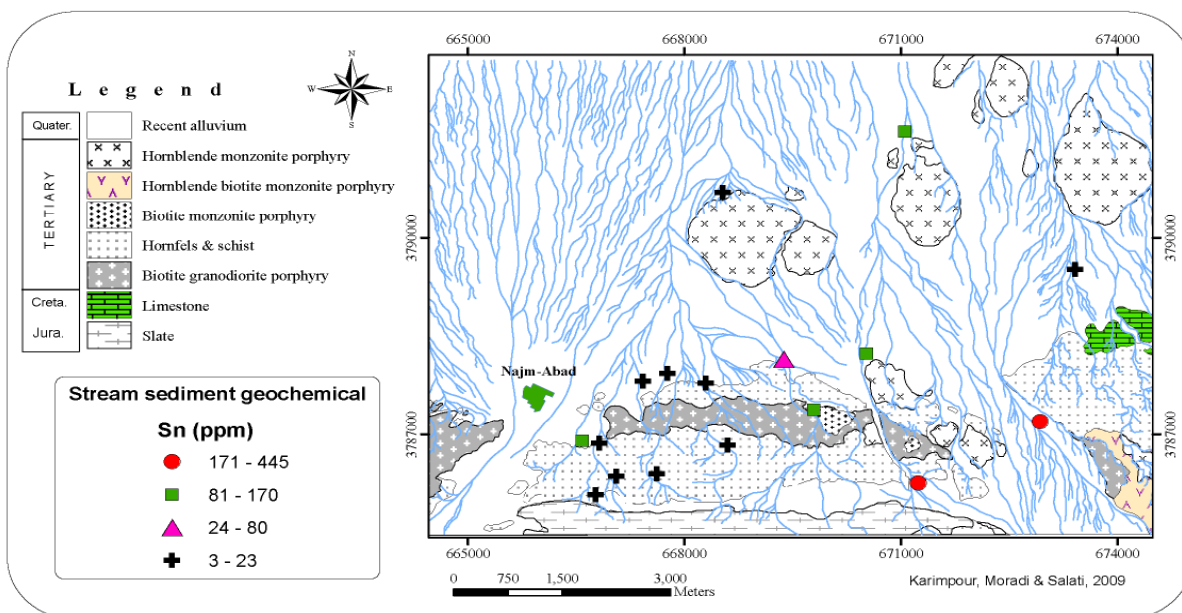
با در نظر گرفتن رخمنون توده‌های نفوذی، نقشه آلتراسیون- کانی‌سازی و شبکه‌بندی آبراهه‌ای تصاویر گوگل (مقیاس ۱:۱۵۰۰) ۱۸ مکان جهت برداشت رسوبات رودخانه‌ای انتخاب گردید. تعداد ۱۸ نمونه کانی‌سنگین جهت مطالعه برداشت شد. سایز آنها در صحراء ۴۰ مش بود. این نمونه‌ها به طریقه‌ی لاوکشویی آماده گردیدند. این نمونه‌ها (حاوی کانی‌های سنگین) بعد از نرمایش و رساندن سایز آنها به #۲۰ ۲۰ مش برای تجزیه شیمیایی به مجموعه آزمایشگاه‌های ACME کشور کانادا ارسال گردیدند. در آزمایشگاه، نمونه به دو روش آماده‌سازی و

تجزیه شدن: ۱) ذوب فلایی و ۲) محلول سازی در ۴ اسید. این نمونه‌ها برای ۴۵ عنصر با دستگاه ICP-MS تجزیه شدند. نتایج تجزیه کانی سنگین رسوبات رودخانه‌ای تعدادی از عناصر در جدول (۱) گزارش شده است.



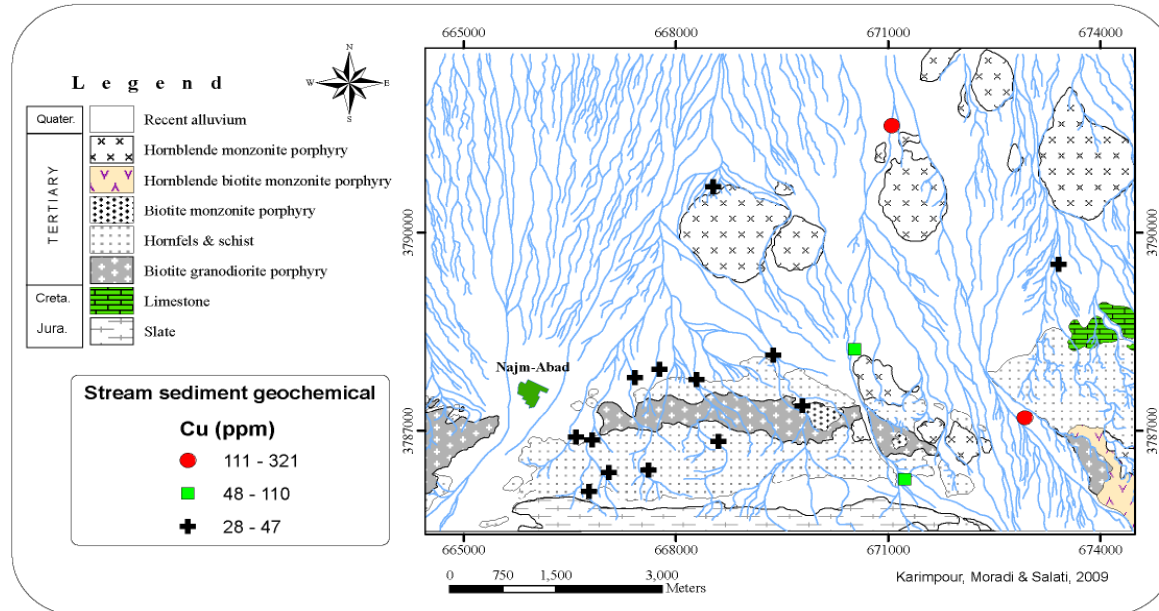
شکل ۱. نقشه کانیهای آتراسیون با استفاده از پردازش داده‌های ماهواره استر.

میزان فراوانی قلع در رسوبات رودخانه‌ای (کانی سنگین) بین ۳ تا ۴۴۵ گرم در تن تغییر می‌کند (شکل ۲). در دو نمونه میزان قلع بیش از ۱۷۰ گرم در تن است که میزان بی‌هنجری نسبتاً زیاد است (حد عادی قلع معمولاً کمتر از ۳ گرم در تن است). بی‌هنجری در آبراهه اصلی (بخش شرقی) و در محدوده گرانوئدیوریت که آتراسیون آرژیلیک - سریتیک - سیلیسی نسبتاً شدید است، واقع شده است.



شکل ۲. نقشه ژنوشیمی قلع در رسوبات رودخانه‌ای.

میزان تنگستن در رسوبات رودخانه‌ای (کانی سنگین) بین ۲ تا ۱۶ گرم در تن تغییر می‌کند. بیشترین میزان W (۱۶ ppm) در نمونه آبراهه‌ای واقع در بخش شمالی توده گرانوویوریتی است. میزان مس در رسوبات رودخانه‌ای (کانی سنگین) بین ۲۸ تا ۳۲۱ گرم در تن تغییر می‌کند (شکل ۳). بیشترین میزان مس در رسوباتی مشاهده می‌شود که منشا آنها از توده گرانوویوریتی نمی‌باشد بلکه از آبراهه جنوبی آورده شده است (شکل ۳).



شکل ۳. نقشه ژئوشیمی مس در رسوبات رودخانه‌ای

میزان سرب در رسوبات رودخانه‌ای (کانی سنگین) بین ۳۰ تا ۲۵۰۰ گرم در تن تغییر می‌کند. بیشترین میزان سرب و مس در رسوباتی مشاهده می‌شود که منشا آنها از توده گرانوویوریتی نمی‌باشد بلکه از آبراهه جنوبی آورده شده است. میزان آرسنیک در رسوبات رودخانه‌ای (کانی سنگین) بین ۲۷ تا ۳۹۹ گرم در تن تغییر می‌کند. بیشترین میزان As در نمونه با بیشترین میزان مس همراه است. میزان روی در رسوبات رودخانه‌ای (کانی سنگین) در محدوده غربی بین ۷۰ تا ۶۰۸ گرم در تن تغییر می‌کند. بیشترین بی هنجاری روی با مس، آرسنیک و سرب همراه است. میزان باریم در رسوبات رودخانه‌ای (کانی سنگین) بین ۲۴۹ تا ۶۹۴۰ گرم در تن تغییر می‌کند. بیشترین میزان باریم در نمونه‌ها با بیشترین میزان مس، آرسنیک و سرب همراه است. میزان زیرکونیوم در رسوبات رودخانه‌ای (کانی سنگین) بین ۲۰۱ تا ۲۱۶۶ گرم در تن تغییر می‌کند. بیشترین میزان زیرکونیوم در رسوبات اطراف توده گرانوویوریتی مشاهده می‌شود.

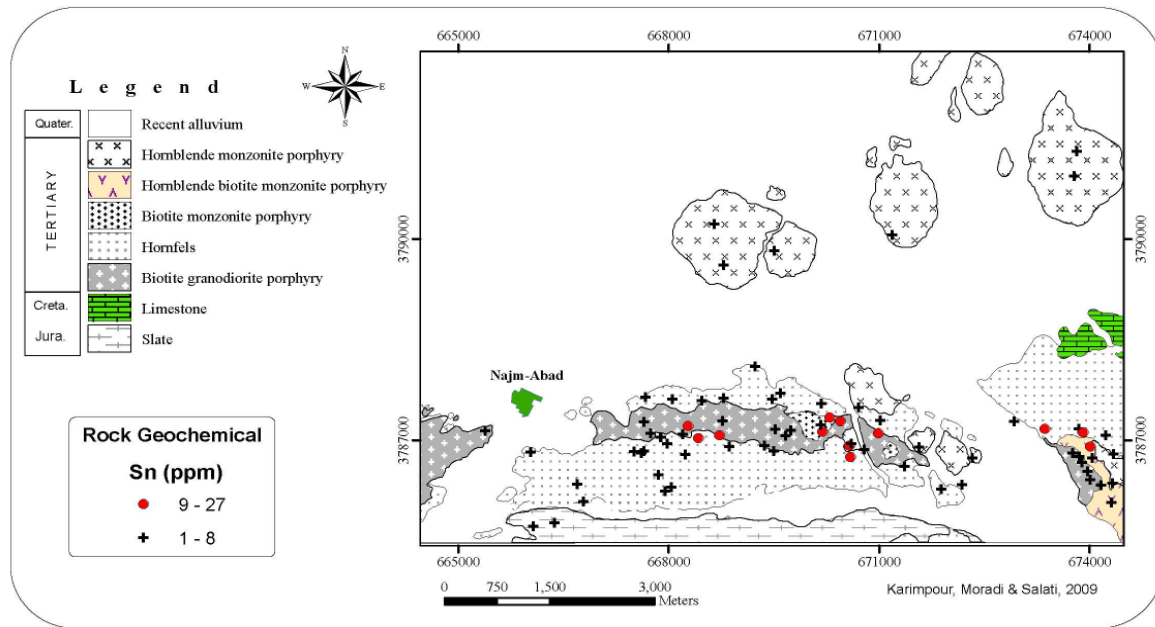
اکتشاف ژئوشیمیایی واحدهای سنگی

با استفاده از نقشه‌های زمین‌شناسی، آلتراسیون و کانی سازی ۷۷ محل جهت برداشت نمونه سنگی انتخاب شدند. نمونه برداری به روش خردمنگی (Chip Composite) انجام شد. وزن هر نمونه با توجه به نوع واحد سنگی تا ۲ کیلوگرم بود. نمونه‌ها بعد از خردایش و نرمایش و رساندن سایز آنها به # ۲۰۰۰ مش برای تجزیه شیمیایی به مجموعه آزمایشگاههای ACME کشور کانادا فرستاده شدند. در آزمایشگاه، نمونه به دو روش آماده‌سازی شدند: ۱) ذوب قلیایی و ۲) محلول سازی در ۴ اسید. این نمونه‌ها برای ۴۵ عنصر با دستگاه ICP-MS تجزیه شدند.

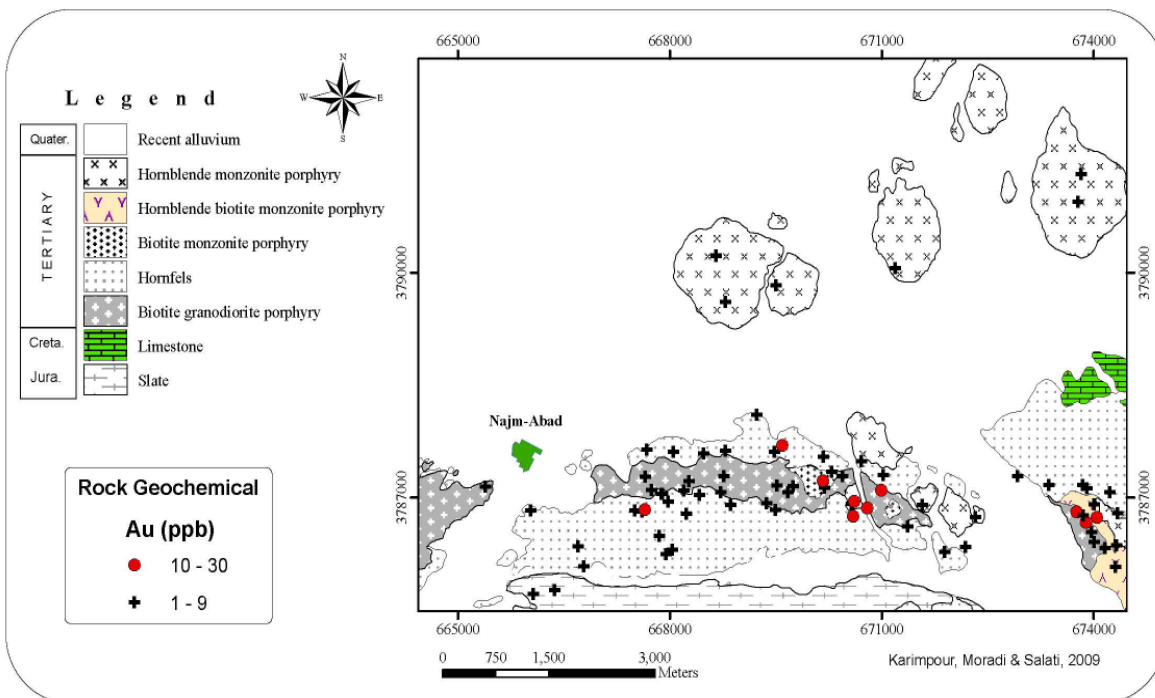
میزان قلع در سنگهای رسوبی و آذرین بطور عادی کمتر از ۳ گرم در تن است. میزان قلع در نمونه‌های سنگی بین ۱ تا ۲۷ گرم در تن تغییر می‌کند (شکل ۴). بیشترین میزان قلع در توده گرانوویوریتی و کمترین میزان در توده مونزونیتی دیده می‌شود (شکل ۴). بیشترین بی هنجاری قلع به میزان ۱۲ تا ۲۷ گرم بر تن در نمونه‌های گرانوویوریتی بخش شرقی قرار دارد (شکل ۴). میزان قلع در توده‌های مونزونیتی کمتر از ۴ گرم در تن است (شکل ۴).

میزان تنگستن در سنگهای آذرین و رسوبی به طور عادی کمتر از ۲ گرم در تن است. بی هنجاری تنگستن با توده‌های گرانوویوریتی مرتبط است. میزان تنگستن در توده‌های گرانوویوریتی بین ۳ تا ۲۱ گرم در تن تغییر می‌کند. میزان تنگستن در توده‌های مونزونیتی منطقه کمتر از ۲ گرم در تن است.

میزان طلا در حالت عادی در سنگهای آذرین کمتر از ۴ میلی‌گرم در تن است. در توده‌های مونزونیتی میزان طلا در حد عادی است (شکل ۵). میزان طلا در چند منطقه واقع در توده‌های گرانوویدیوریتی بی‌هنگاری نشان می‌دهد (شکل ۵). این بی‌هنگاری (۸ تا ۳۰ میلی‌گرم در تن) عمدتاً با بی‌هنگاری قلع همراه است.



شکل ۴. نقشه ژنوشیمی قلع در نمونه سنگی



شکل ۵. نقشه ژنوشیمی طلا در نمونه سنگی

میزان مس در سنگهای آذرین در حالت عادی بین ۱۰ تا ۸۰ گرم در تن تغییر می‌کند. میزان مس در توده‌های مونزونیتی کمتر از ۳۰ گرم در تن است. میزان مس در اکثر نمونه‌های گرانوویدیوریت کمتر از ۳۰ گرم در تن است. در ۲ نمونه گرانوویدیوریت میزان مس تا ۱۹۹ گرم در تن افزایش یافته است.

میزان روی بین ۳۰ تا ۵۰ گرم در تن متغیر است. در توده مونزونیتی شمال شرق میزان روی تا ۱۰۲ گرم در تن افزایش یافته است. در توده‌های گرانوویدیوریتی در چند منطقه میزان روی افزایش یافته است. در دو

منطقه میزان روی تا ۲۰۰ گرم در تن افزایش پیدا کرده است. میزان آرسنیک توده‌های مونزونیتی در حد عادی و کمتر از ۱۰ گرم در تن است. در گرانوپیوریت میزان آرسنیک بین کمتر از ۱۰ تا ۴۰۳ گرم در تن تغییر می‌کند. بی‌هنگاری بالای آرسنیک با بی‌هنگاری قلع و بعضًا طلا همراه است. میزان سرب در توده‌های مونزونیتی در حالت عادی است. در بعضی از توده‌های گرانوپیوریتی میزان سرب تا ۸۶ گرم در تن افزایش یافته است. در محدوده شرقی بی‌هنگاری سرب با قلع، طلا و آرسنیک همراه است. در توده‌های مونزونیتی میزان اورانیوم در حالت عادی است. در توده گرانوپیوریتی در محدوده شرقی میزان اورانیوم تا ۱۴ گرم در تن افزایش یافته است. این بی‌هنگاری با قلع، طلا، آرسنیک و سرب همراه است.

نتیجه‌گیری

دو مجموعه توده نفوذی در منطقه شناسایی شدند. گرانوپیوریت از نوع گرانیت‌های سری ایلمنیت و مونزونیت‌ها از سری مگنتیت هستند. محلولهای ماقمایی که با گرانوپیوریت همراه بوده موجب تشکیل زون‌های آلتراسیون در گرانوپیوریت و سنگهای اطراف آن شده است. زون‌های مهم آلتراسیون عبارتند از: زون تورمالین، زون سیلیسی، زون سرستیک، زون پروپیلیتیک، زون آرژیلیک و زون اکسیدهای آهن ثانویه

نتایج حاصل از اکتشاف رسوبات رودخانه‌ای (کانی سنگین) در منطقه مطالعاتی بی‌هنگاری عناصر-Sn-W-Au-Pb-Zn-Cu-As شناسایی شدند. رسوبات رودخانه‌ای منطقه گرانوپیوریت‌ها در بخش شرقی محدوده مطالعاتی بیشترین بی‌هنگاری عناصر Sn, Au, As, Pb, Zn, Cu را نشان می‌دهد.

نتایج تجزیه ۷۷ نمونه از توده‌های گرانوپیوریتی و مونزونیتی (برداشت شده از مناطق دارای آلتراسیون و کانی‌سازی) نشان داد که کانی سازی در ارتباط با گرانوپیوریت است. بی‌هنگاری عناصر عناصر Sn-W-Au-Pb-Zn-Cu-As در بخش شرقی گرانوپیوریت‌ها شناسایی شد.

منابع

- امانوئل فوله (۱۳۸۳). نقشه زمین‌شناسی ۱:۲۵۰۰۰۰ گتاباد. سازمان زمین‌شناسی و اکتشافات معدنی ایران.
- قلانمی فرخ (۱۳۸۴). نقشه زمین‌شناسی ۱:۱۰۰۰۰۰ گتاباد. سازمان زمین‌شناسی و اکتشافات معدنی ایران.
- کریمپور محمد حسن، مرادی م. و سلطانی احسان (۱۳۸۸). زمین‌شناسی پترولوجی توده‌های نفوذی شرق محدوده نجم آباد (گتاباد).
- Audétat, A., Günther, D. & Heinrich, C.A. (2000). Magmatic-hydrothermal evolution in a fractionating granite: a microchemical study of the Sn-W mineralized Mole Granite (Australia), *Geochim. Cosmochim. Acta* **64** (2000), pp. 3373–339.
- Heinrich, C.A., Ryan, C.G., Mernagh, T.P. & Eadington, P.J. (1992). Segregation of ore metals between magmatic brine and vapor: a fluid inclusion study using PIXE microanalysis, *Econ. Geol.* **87** (1992), pp. 1566–1583.
- Heinrich, C.A., Günther, D., Audétat, A. Ulrich, Th. & Frischknecht, R. (1999). Metal fractionation between magmatic brine and vapor, determined by micro-analysis of fluid inclusions, *Geology* **27** (1999), pp. 755–758.
- Henley, H.F., Brown, R.E. & Stroud, W.J. (1999). The Mole Granite-extent of mineralisation and exploration potential. In: P.G. Flood, Editor, *Regional Geology, Tectonics and Metalllogenesis of the New England Orogen*, Univ. of New England, Armidale, Australia (1999), pp. 3385–3392.
- Hubbard, B.E., Rowan, L.C., Dusel-Bacon, C. & Eppinger, R.G. (2007). Geologic Mapping and Mineral Resource Assessment of the Healy and Talkeetna Mountains Quadrangles, Alaska Using Minimal Cloud- and Snow-Cover ASTER Data. USGS Open-File Report 2007-1046, 2007.
- Ishihara S., (1977)."The magnetite-series and ilmenite- series granitic rocks", *Mining geology*, Japan, 27, (1977) p. 43- 300.
- Rowan, L.C., Hook, S.J., Abrams, M.J. & Mars, J.C. (2003). Mapping hydrothermally altered rocks at Cuprite, Nevada, using the Advanced Spaceborne Thermal Emission and Reflection Radiometer (ASTER), A new satellite imaging system. *Economic Geology*, August 2003, v. 98, no. 5, p. 1019-1027, 2003. DOI: 10.2113/98.5.1019.
- Rowan, L.C. & Mars, J.C. (2003). Lithologic mapping in the Mountain Pass, California, area using Advanced Spaceborne Thermal Emission and Reflection Radiometer (ASTER) data: Remote Sensing of Environment, v. 84, no. 3, p. 350–366, 2003. DOI: 10.1016/S0034-4257(02)00127-X.
- Yamaguchi, Y., Rowan, L.C., Tsu, H. & Kahle, A.B. (1996). Application of ASTER data to geological studies. Proceedings of the Eleventh thematic conference on geologic remote sensing; practical solutions for real world problems: 11: I.77-I.86, 1996.